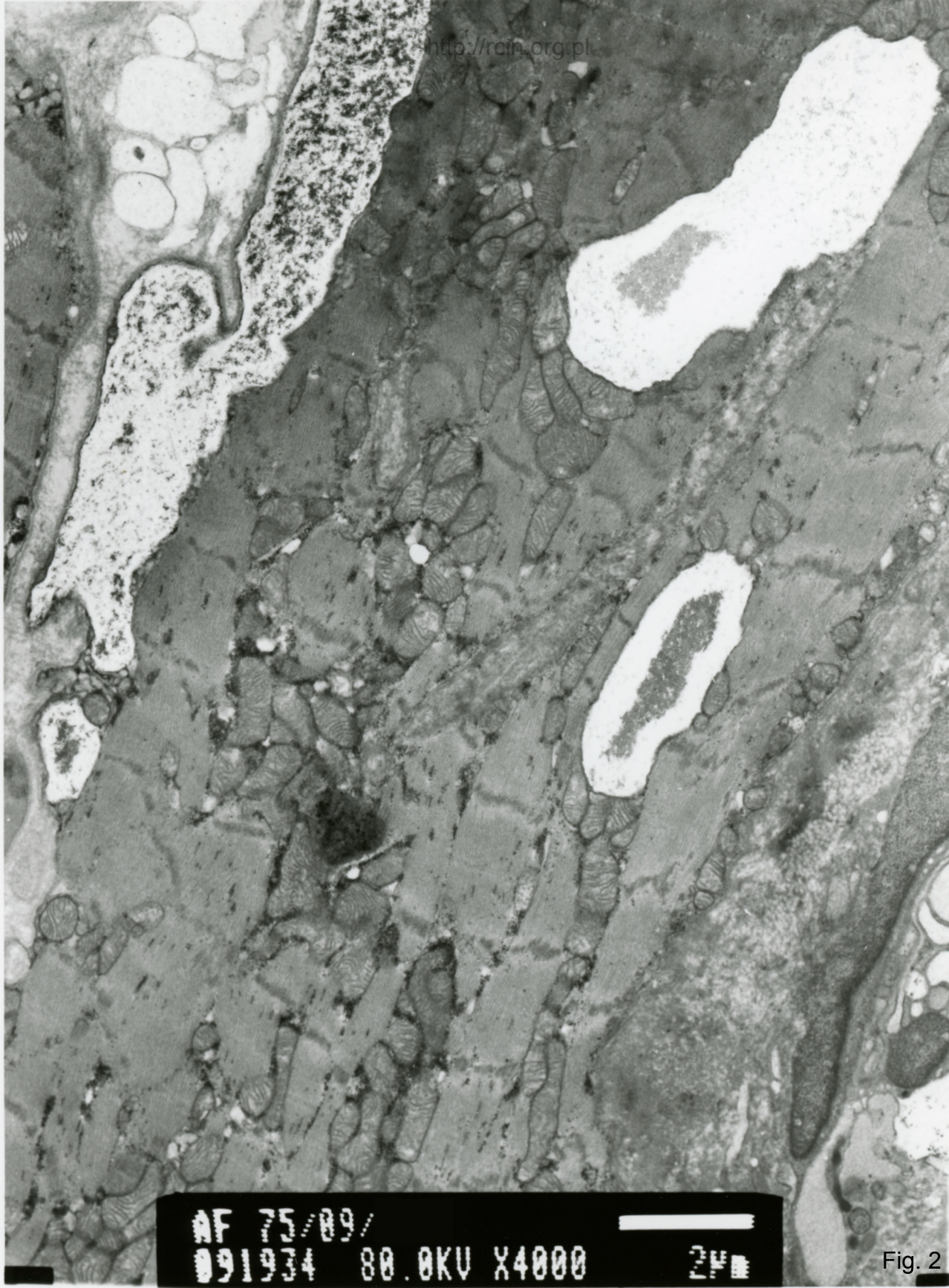


AF 75/09,
091923 80.0KV X4000 2µm

Fig. 1



AF 75/89/
091934 80.0KV X4000 24

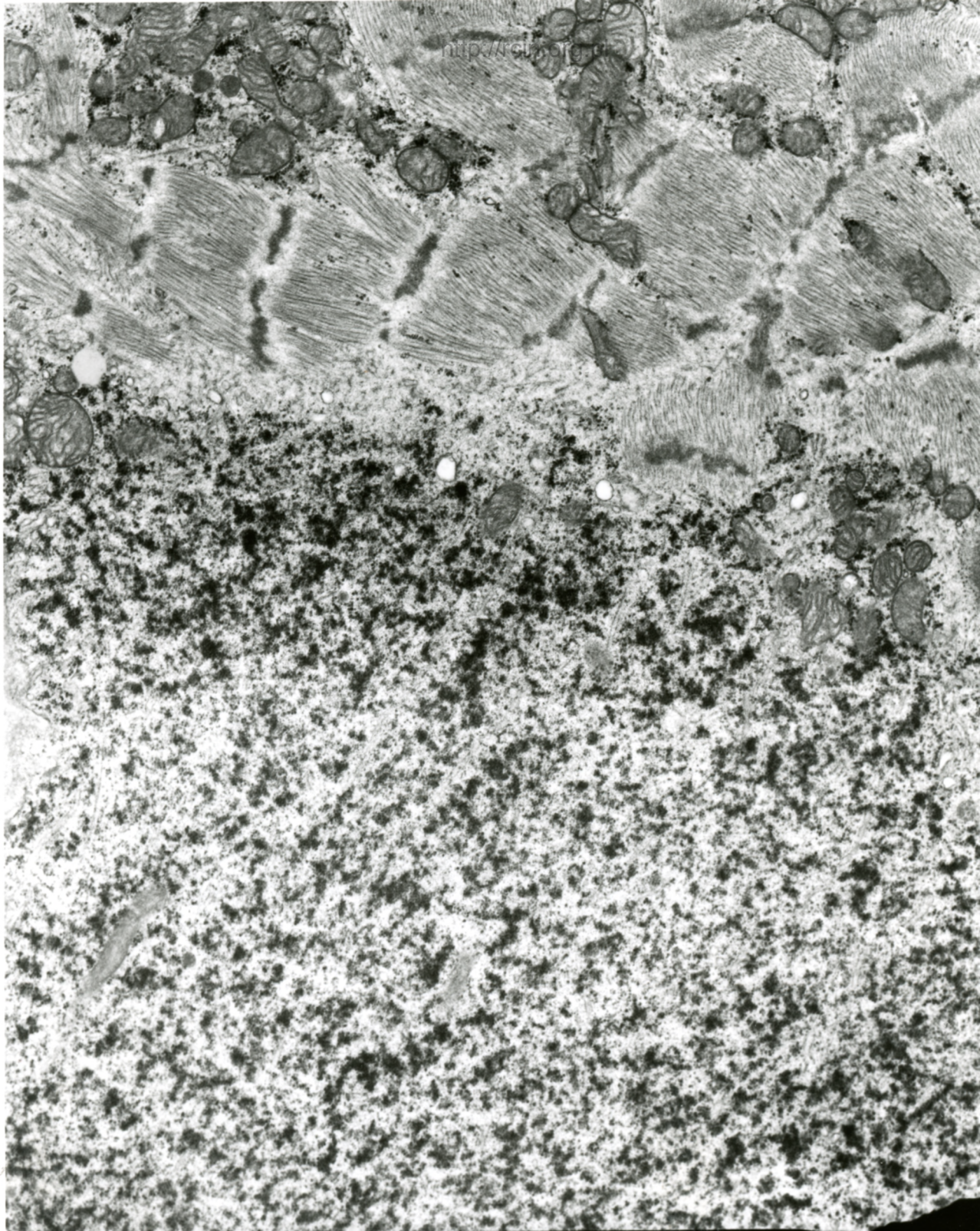
Fig. 2



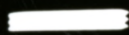
MF 75/09/
091935 80.0KV X15K 500nm

Fig. 3

<http://rui.org.cn>

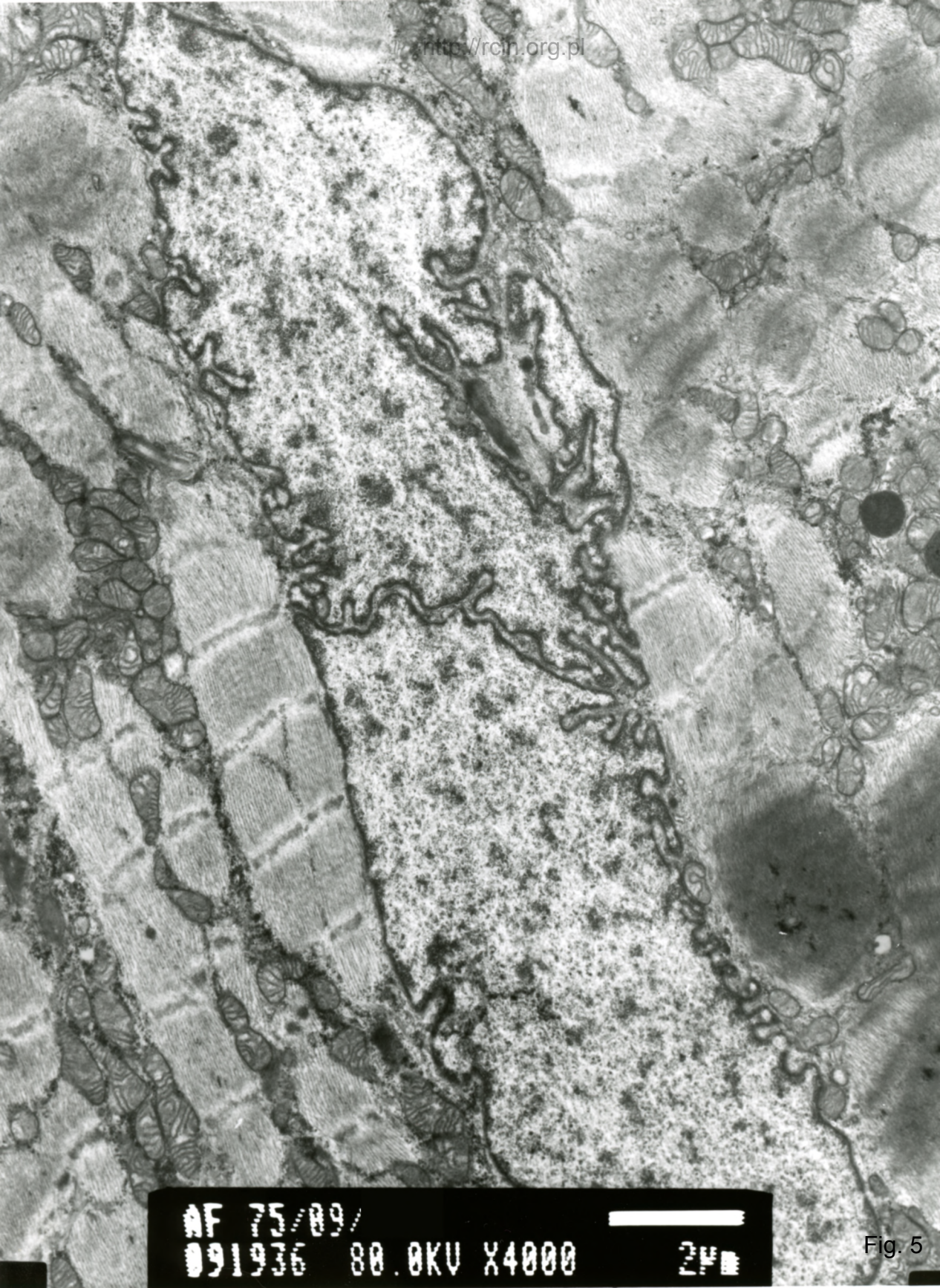


AF 75/09/
091928 80.0KV X5000



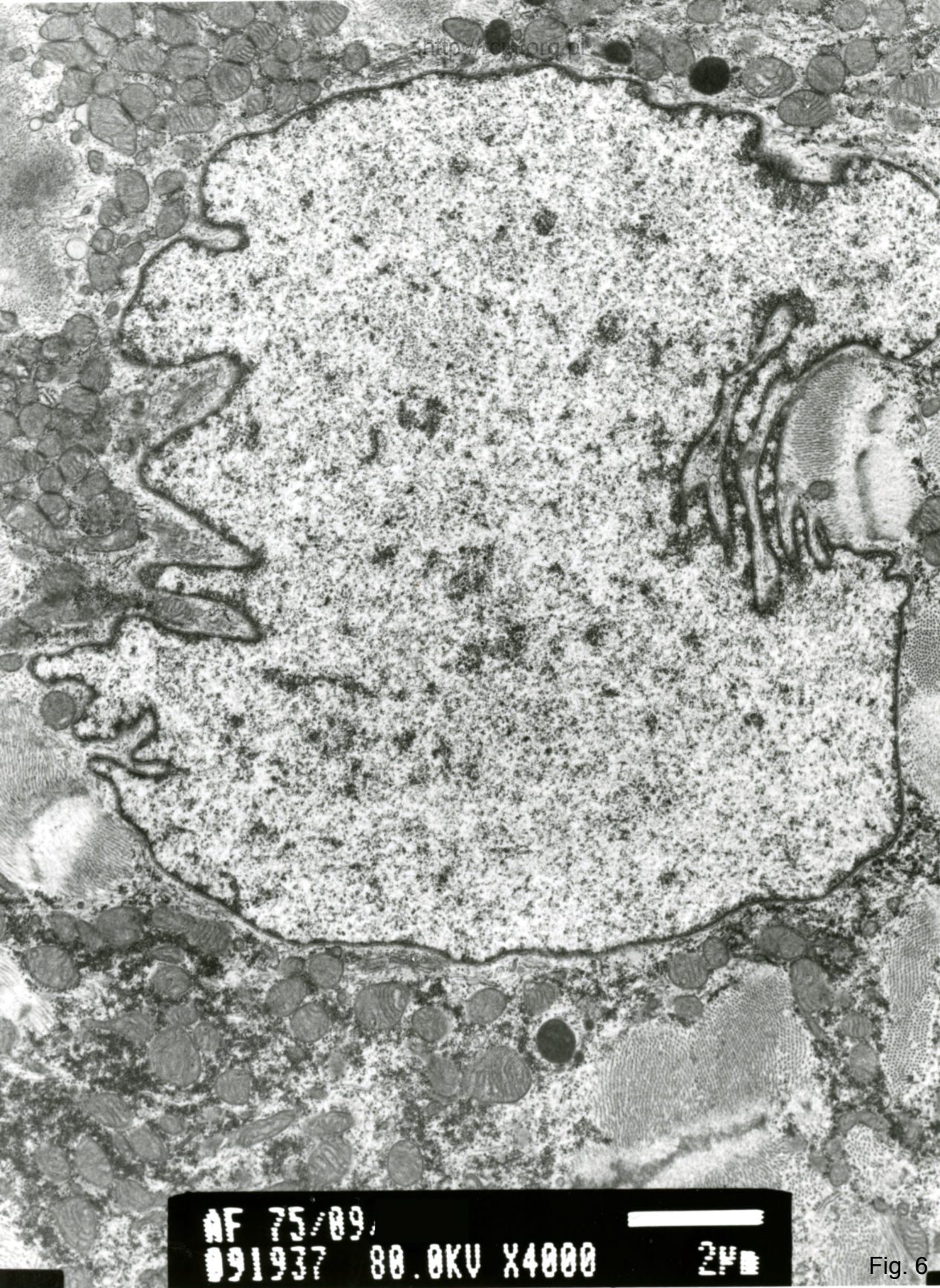
1μm

Fig. 4



AF 75/09/
091936 80.0KV X4000 2µm

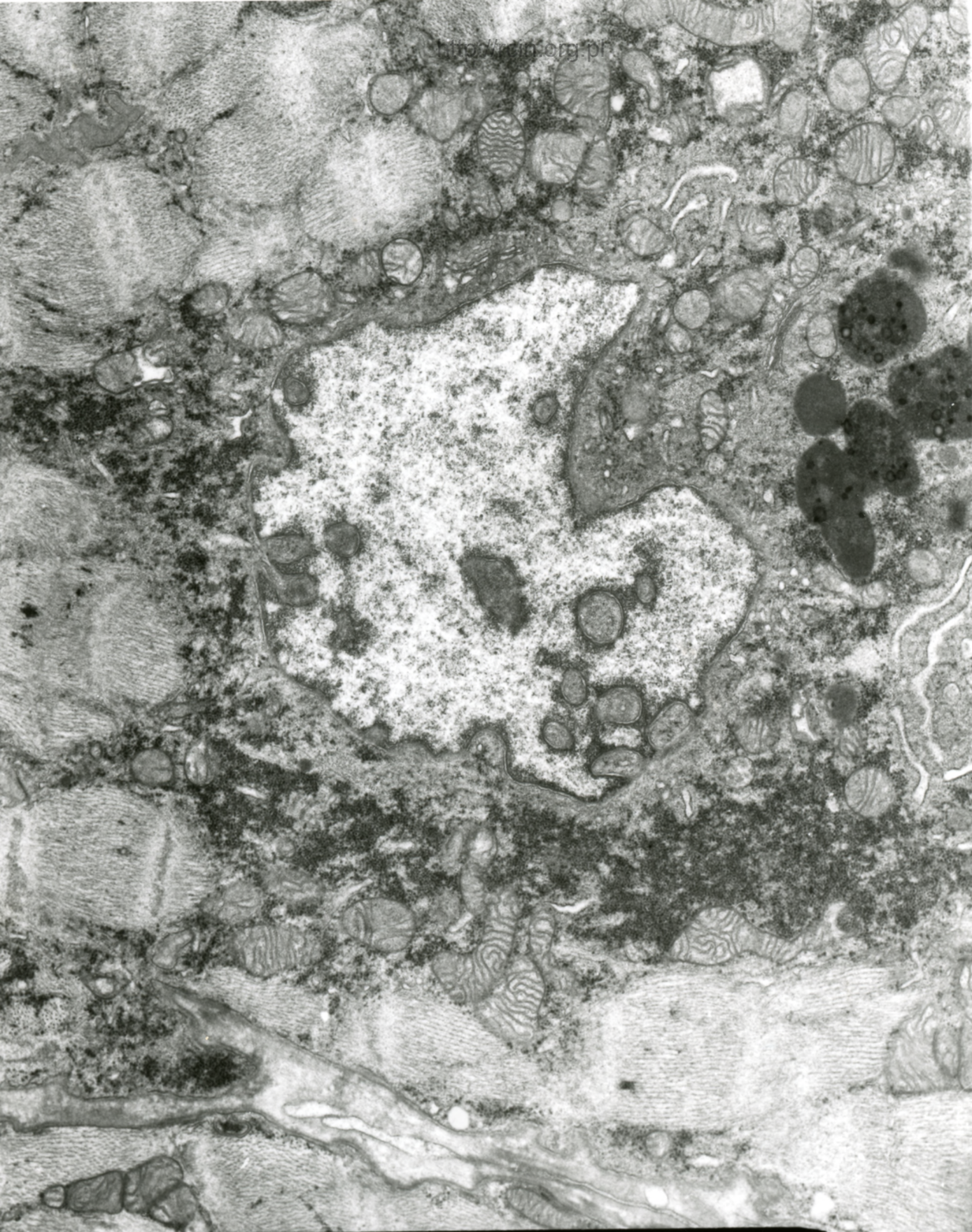
Fig. 5



http://www.1000000.com

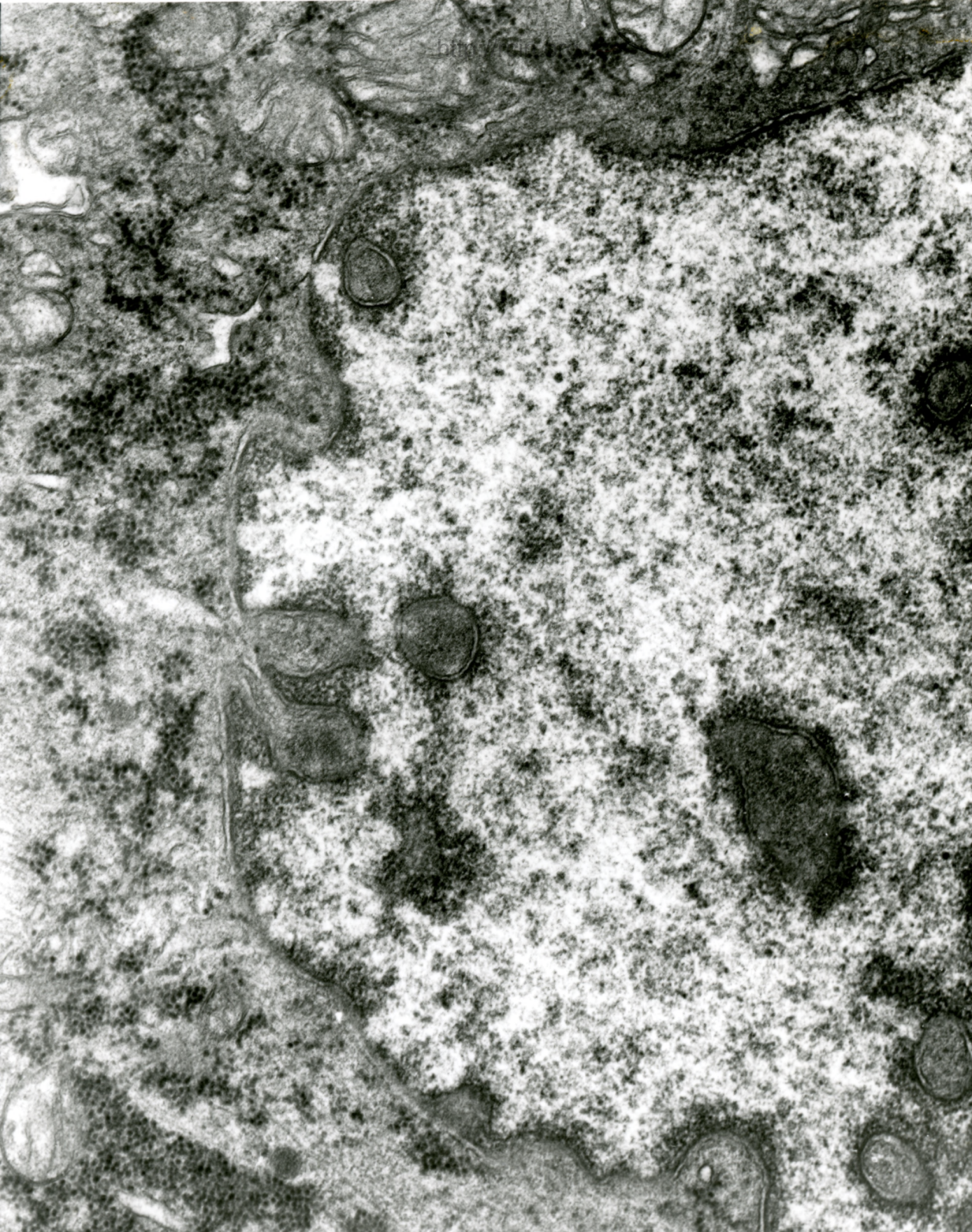
AF 75/89
091937 80.0KV X4000 2µm

Fig. 6



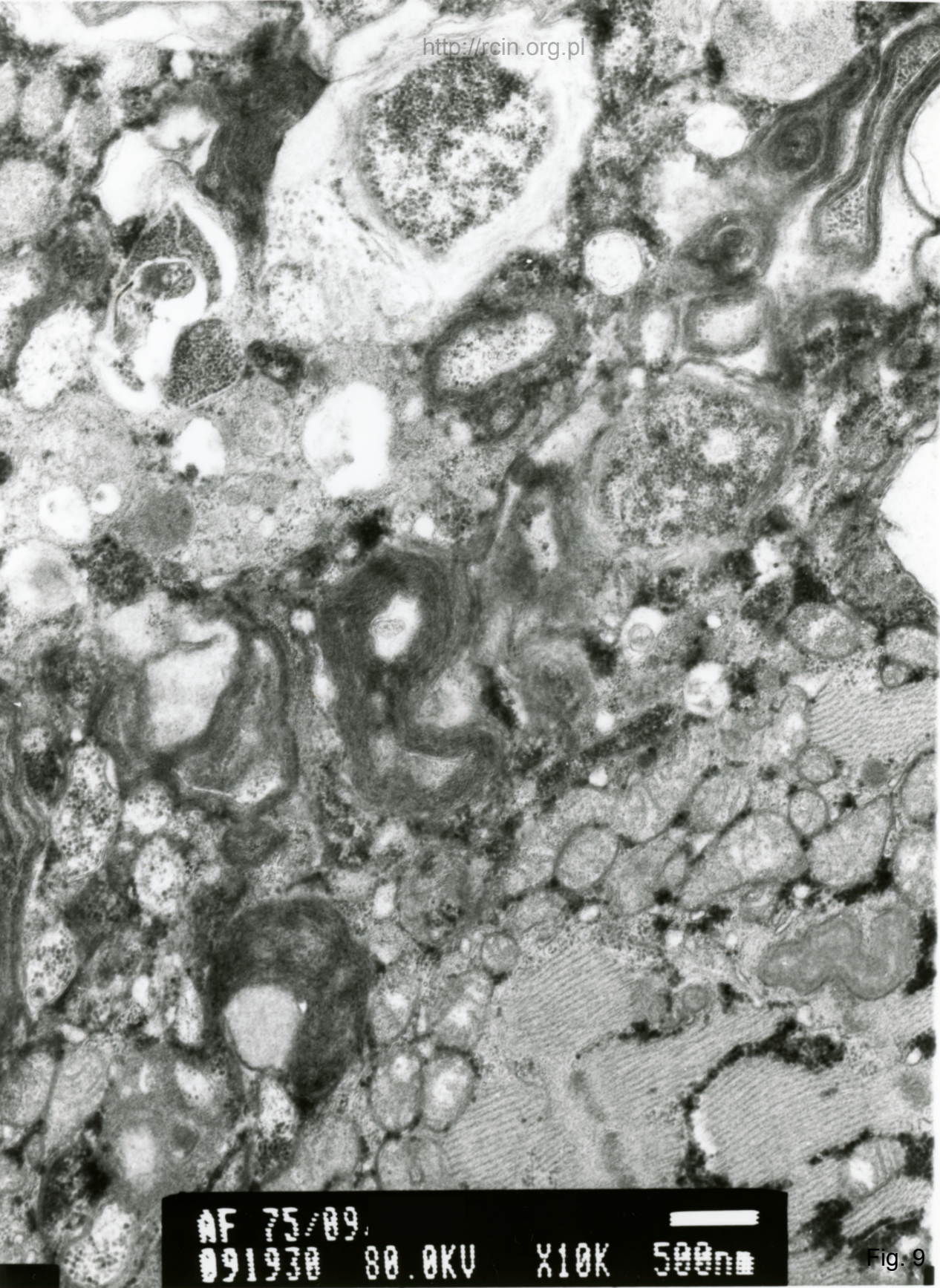
AF 75/09/
091926 80.0KV X5000 1µm

Fig. 7



AF 75/89,
091927 80.0KV X12K 5000

Fig. 8

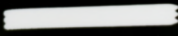


AF 75/09
091930 80.0KV X10K 500nm

Fig. 9



AF 75/89/
091929 80.0KV X7500



1 μm

Fig.10

75/09

1. 43

Niewydolność mięśnia sercowego, borelioza

Analiza ultrastrukturalna wykazała nieprawidłowy, zatarty wzór sarkomerów. Obserwowano wakuolarnie struktury, częściowo wypełnione ziarnami glikogenu (Fig. 1,2,3) a także miejscowe nagromadzenie glikogenu (Fig. 4). Otoczka większości jąder kardiomiocytów była pofałdowana, z licznymi wgłobieniami, a miejscami przzerwana. wewnątrz niektórych jąder widoczne były organelle komórkowe lub obłonione struktury (Fig. 5-8). Miejscowo występowała autofagia (Fig. 9,10).

Heart failure, Lyme disease

Ultrastructural analysis revealed changed, blurred sarcomere pattern (Figs. 1,2,3). Vacuoles partially filled with glycogen granules (Figs. 1,2,3) were observed. Focally also deposits of glycogen were seen (Fig. 4) Nuclear envelope of majority of cardiomyocyte nuclei was corrugated, with numerous indentations. Focally breaks in the nuclear membrane were seen and in the interior of some nuclei cellular organelles or membrane-surrounded structures were present (Figs. 5-8). Autophagy was focally seen (Figs. 9,10)